

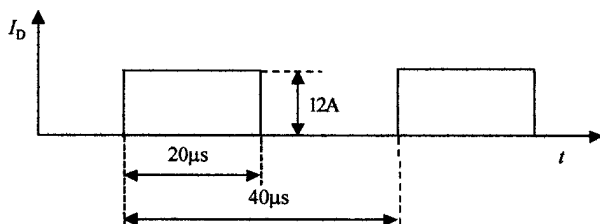
Papereihin

- sukunimi ja etunimet
- opiskelijanumero
- koulutusohjelma.

Tentissä sallitut apuvälineet

- kynät, kumit jne.
- taskulaskin
- lukion kaavakokoelma tms. + Laplace taulut

1. Selvitä lyhyesti (max. 2...4 lausetta + mahdollinen kuva), mitä seuraavilla termeillä tarkoitetaan
 - ion-istutus
 - tyristorin toipumisaika
 - SOA
 - varistori
 - ESR.
2. Esittele IGBT:n rakenne, toimintaperiaate ja ominaisuudet.
3. Esittele kiihytettty superpositiomenetelmä. Mitä muita menetelmiä on komponentin lämpenemän laskuun yleisessä tapauksessa? Mitkä ovat niiden edut ja haitat?
4. Määrää IPP60R199CP -fetin vaatiman jäähdytyselementin lämpövästus, kun fetin virta on oheisen kuvan mukainen. Jäähdytsilman lämpötila on 45 °C ja $V_{GS} = 10$ V. Fetin yli oleva jännite on päälekyytkennän aikana 360 V ja katkaisun aikana 500 V.



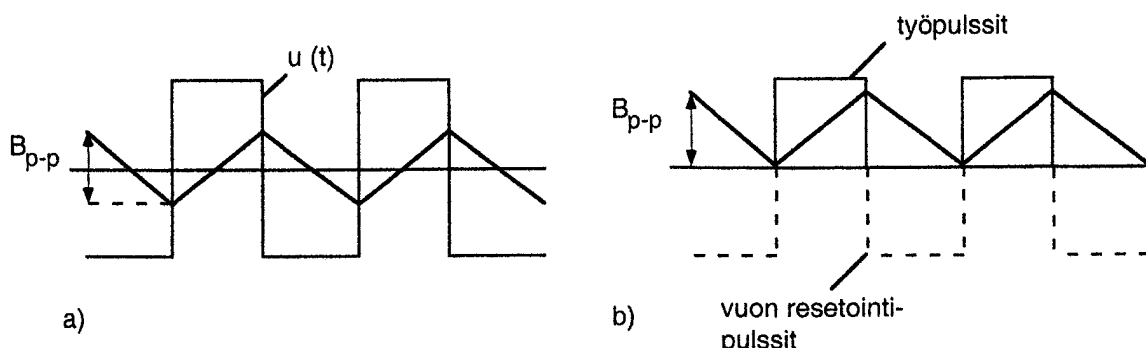
5. Erään jännitettä laskevan tasasähkökatkojan lähtövirtapulssit on tarkoitus muodostaa ferriittirenkaasta TN26/15/10-3C90 tehdyn kuristimen avulla. Kuristimen yli on 19 V jännite 10 μ s ajan, jona aikana kuristimen virran halutaan kasvavan nollasta noin 0,5 A maksimiarvoon.
 - a) Kuinka monta johdinkierrosta pitää olla tarvittavan induktanssin aikaansaamiseksi?
 - b) Mikä on renkaan vuontiheys B maksimivirralla kyseisellä kierrosmäärällä?
 - c) Onko kyseinen ferriittirengas sopiva tähän sovellukseen? Perustele päätelmäsi.

Kaavoja seuraavalla sivulla, datalehti viimeisellä sivulla. Huom! ferriittirenkaassa ei ole ilmapäliä!

Hakkuriteholähteissä tavallisille kanttimuotoisille jännitteille pätee, kuva 11.4:

$$B_{p-p} = \frac{\int U(t) dt}{A N} \approx \frac{U t_d}{A N} \quad (11.16)$$

jossa U on t_d -mittaisen pulssin jännite, A on ferriitin poikkileikkauspinta-ala ja N on ko. käänmin kierrosluku.



Kuva 11.4. Jännite ja vuontiheys eräissä tyypillisissä hakkuriteholähde muuntajissa /8/;
(a) balansoitu vuorovaihe; (b) forward-hakkuri, vertaa kuva 11.6.

$$L = \frac{N \phi}{I} \quad (11.18)$$

$$\phi = \frac{\mu_0 NI}{\frac{l_g}{A_g} + \sum \frac{l_m}{\mu A_m}} \approx \frac{\mu_0 NI}{\frac{l_g}{A_g} + \frac{l_e - l_g}{\mu A_e}} \approx \frac{\mu_0 NI}{\frac{l_g}{A_g} + \frac{C_1}{\mu}} \quad (11.19)$$

$$L \approx \frac{\mu_0 N^2}{\frac{l_g}{A_g} + \frac{C_1}{\mu}} = \frac{\mu_0 \mu_e N^2 A_e}{l_e} = A_L N^2 \quad (11.20)$$

jossa l_g ja A_g ovat ilmavälin pituus ja pinta-ala sekä l_e ja A_e ovat efektiivinen magneettipiirin pituus ja pinta-ala. μ_0 on tyhjön ($= 4\pi \cdot 10^{-7}$ H/m) ja μ_e ilmavälin sisältävän sydämen efektiivinen permeabiliteetti ja C_1 on sydänvakio. A_L on induktanssikerroin sydämelle tällä ilmavälillä.



IPP60R199CP

CoolMOS® Power Transistor

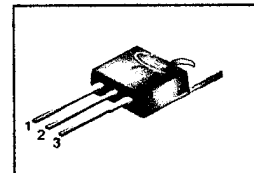
Product Summary

Features

- Lowest figure-of-merit $R_{ON} \times Q_g$
- Ultra low gate charge
- Extreme dv/dt rated
- High peak current capability
- Qualified according to JEDEC¹⁾ for target applications
- Pb-free lead plating; RoHS compliant

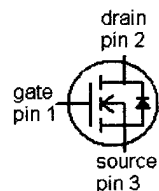
$V_{DS} @ T_{j,max}$	650	V
$R_{DS(on),max}$	0.199	Ω
$Q_{g,typ}$	32	nC

PG-T0220



CoolMOS CP is specially designed for:

- Hard switching topologies, for Server and Telecom



Maximum ratings, at $T_j=25^\circ\text{C}$, unless otherwise specified

Parameter	Symbol	Conditions	Value	Unit
Continuous drain current	I_D	$T_C=25^\circ\text{C}$	16	A
		$T_C=100^\circ\text{C}$	10	
Pulsed drain current ²⁾	$I_{D,pulse}$	$T_C=25^\circ\text{C}$	51	
Avalanche energy, single pulse	E_{AS}	$I_D=6.6\text{ A}, V_{DD}=50\text{ V}$	436	mJ
Avalanche energy, repetitive $t_{AR}^{2,3)}$	E_{AR}	$I_D=6.6\text{ A}, V_{DD}=50\text{ V}$	0.66	
Avalanche current, repetitive $t_{AR}^{2,3)}$	I_{AR}		6.6	A
MOSFET dv/dt ruggedness	dv/dt	$V_{DS}=0...480\text{ V}$	50	V/ns
Gate source voltage	V_{GS}	static	± 20	V
		AC ($f>1\text{ Hz}$)	± 30	
Power dissipation	P_{tot}	$T_C=25^\circ\text{C}$	139	W
Operating and storage temperature	T_j, T_{stg}		-55 ... 150	°C
Mounting torque		M3 and M3.5 screws	60	Ncm



Maximum ratings, at $T_j=25^\circ\text{C}$, unless otherwise specified

Parameter	Symbol	Conditions	Value		Unit
Continuous diode forward current	I_s	$T_C=25^\circ\text{C}$	9.9	-	A
Diode pulse current ²⁾	$I_{s,pulse}$		51	-	
Reverse diode dv/dt ⁴⁾	dv/dt			15	V/ns

Parameter	Symbol	Conditions	Values			Unit
			min.	typ.	max.	

Thermal characteristics

Thermal resistance, junction - case	R_{thJC}		-	-	0.9	K/W
Thermal resistance, junction - ambient	R_{thJA}	leaded	-	-	62	
Soldering temperature, wavesoldering only allowed at leads	T_{sold}	1.6 mm (0.063 in.) from case for 10 s	-	-	260	°C

Electrical characteristics, at $T_j=25^\circ\text{C}$, unless otherwise specified

Static characteristics

Drain-source breakdown voltage	$V_{(BR)DSS}$	$V_{GS}=0\text{ V}, I_D=250\text{ }\mu\text{A}$	600	-	-	V
Gate threshold voltage	$V_{GS(\text{th})}$	$V_{DS}=V_{GS}, I_D=0.66\text{ mA}$	2.5	3	3.5	
Zero gate voltage drain current	I_{DSS}	$V_{DS}=600\text{ V}, V_{GS}=0\text{ V}, T_j=25^\circ\text{C}$	-	-	1	μA
		$V_{DS}=600\text{ V}, V_{GS}=0\text{ V}, T_j=150^\circ\text{C}$	-	10	-	
Gate-source leakage current	I_{GSS}	$V_{GS}=20\text{ V}, V_{DS}=0\text{ V}$	-	-	100	nA
Drain-source on-state resistance	$R_{DS(on)}$	$V_{GS}=10\text{ V}, I_D=9.9\text{ A}, T_j=25^\circ\text{C}$	-	0.18	0.199	Ω
		$V_{GS}=10\text{ V}, I_D=9.9\text{ A}, T_j=150^\circ\text{C}$	-	0.49	-	
Gate resistance	R_G	$f=1\text{ MHz, open drain}$	-	2	-	Ω



Parameter	Symbol	Conditions	Values			Unit
			min.	typ.	max.	
Dynamic characteristics						
Input capacitance	C_{iss}	$V_{GS}=0 \text{ V}, V_{DS}=100 \text{ V}, f=1 \text{ MHz}$	-	1520	-	pF
Output capacitance	C_{oss}		-	72	-	
Effective output capacitance, energy related ⁵⁾	$C_{o(er)}$	$V_{GS}=0 \text{ V}, V_{DS}=0 \text{ V}$	-	69	-	
Effective output capacitance, time related ⁶⁾	$C_{o(tr)}$	to 480 V	-	180	-	
Turn-on delay time	$t_{d(on)}$	$V_{DD}=400 \text{ V}, V_{GS}=10 \text{ V}, I_D=9.9 \text{ A}, R_G=3.3 \Omega$	-	10	-	ns
Rise time	t_r		-	5	-	
Turn-off delay time	$t_{d(off)}$		-	50	-	
Fall time	t_f		-	5	-	

Gate Charge Characteristics

Gate to source charge	Q_{gs}	$V_{DD}=400 \text{ V}, I_D=9.9 \text{ A}, V_{GS}=0 \text{ to } 10 \text{ V}$	-	8	-	nC
Gate to drain charge	Q_{gd}		-	11	-	
Gate charge total	Q_g		-	32	43	
Gate plateau voltage	$V_{plateau}$		-	5.0	-	V

Reverse Diode

Diode forward voltage	V_{SD}	$V_{GS}=0 \text{ V}, I_F=9.9 \text{ A}, T_j=25^\circ\text{C}$	-	0.9	1.2	V
Reverse recovery time	t_{rr}	$V_R=400 \text{ V}, I_F=I_S, di_F/dt=100 \text{ A}/\mu\text{s}$	-	340	-	ns
Reverse recovery charge	Q_{rr}		-	5.5	-	μC
Peak reverse recovery current	I_{rm}		-	33	-	A

¹⁾ J-STD20 and JESD22

²⁾ Pulse width t_p limited by $T_{j,max}$

³⁾ Repetitive avalanche causes additional power losses that can be calculated as $P_{AV}=E_{AR} \cdot f$.

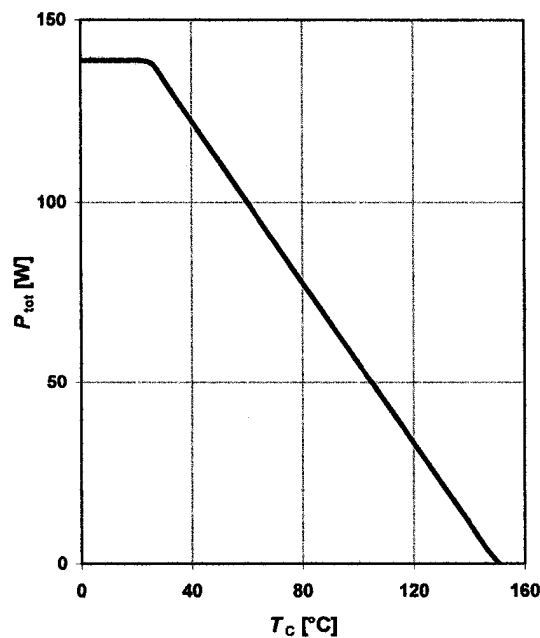
⁴⁾ $I_{SD} \leq I_D, di/dt \leq 200 \text{ A}/\mu\text{s}, V_{DClink}=400 \text{ V}, V_{peak} < V_{(BR)DSS}, T_j < T_{j,max}$, identical low side and high side switch.

⁵⁾ $C_{o(er)}$ is a fixed capacitance that gives the same stored energy as C_{oss} while V_{DS} is rising from 0 to 80% V_{DSS} .

⁶⁾ $C_{o(tr)}$ is a fixed capacitance that gives the same charging time as C_{oss} while V_{DS} is rising from 0 to 80% V_{DSS} .

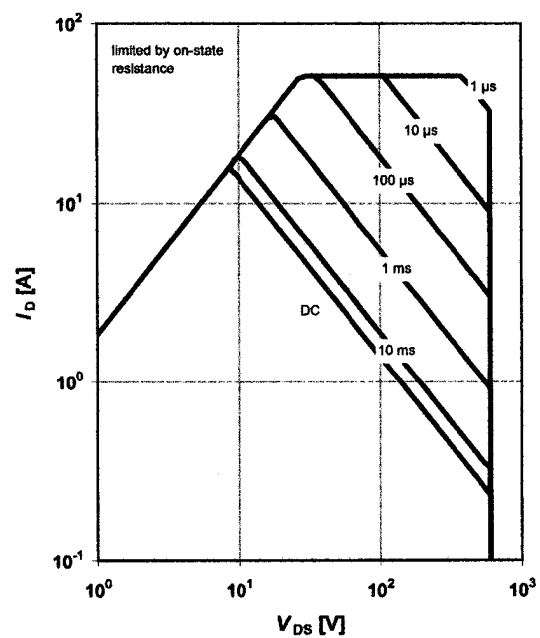
**1 Power dissipation**

$$P_{\text{tot}} = f(T_c)$$

**2 Safe operating area**

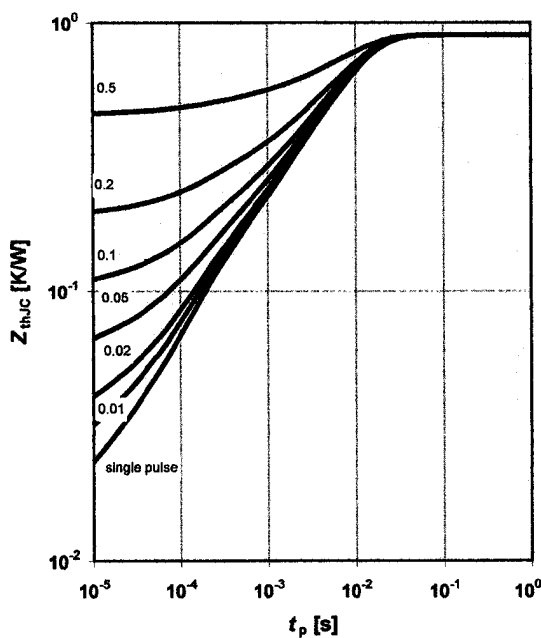
$$I_D = f(V_{DS}); T_c = 25^\circ\text{C}; D = 0$$

parameter: t_p

**3 Max. transient thermal impedance**

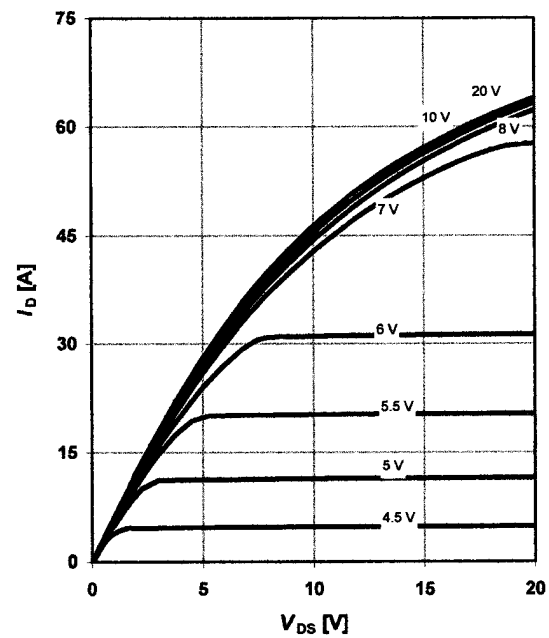
$$Z_{\text{thJC}} = f(t_p)$$

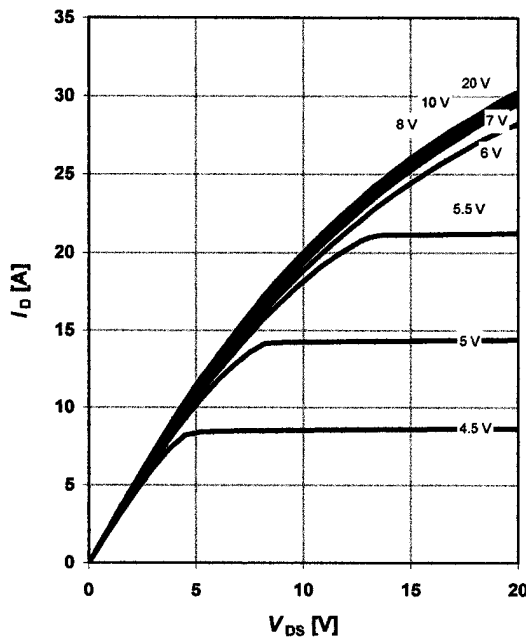
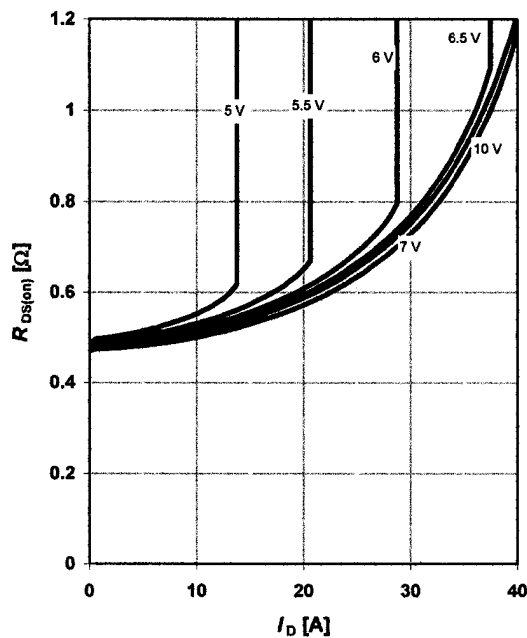
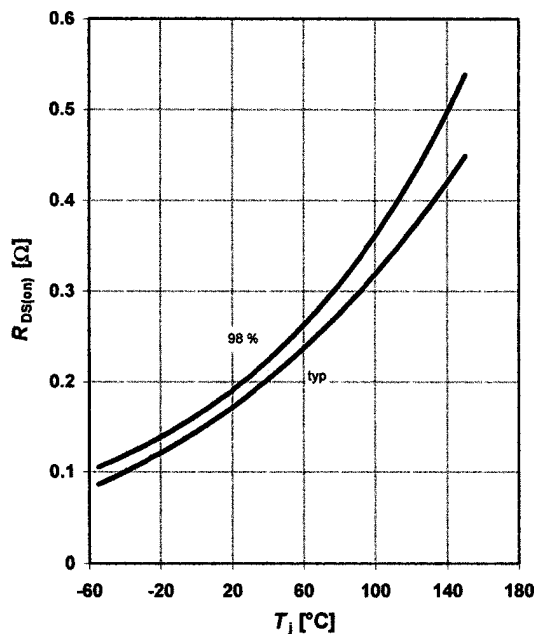
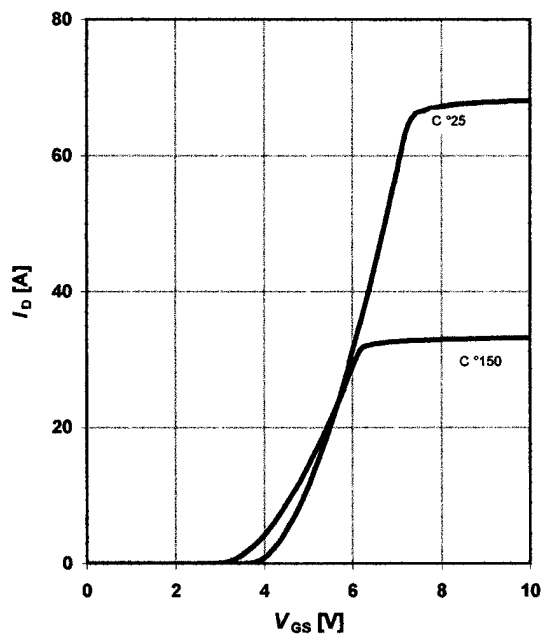
parameter: $D = t_p/T$

**4 Typ. output characteristics**

$$I_D = f(V_{DS}); T_J = 25^\circ\text{C}$$

parameter: V_{GS}

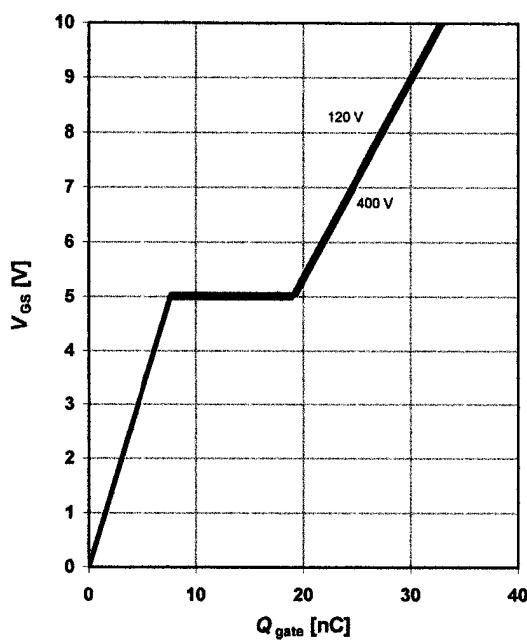


5 Typ. output characteristics
 $I_D = f(V_{DS})$; $T_j = 150^\circ\text{C}$
parameter: V_{GS} 
6 Typ. drain-source on-state resistance
 $R_{DS(on)} = f(I_D)$; $T_j = 150^\circ\text{C}$
parameter: V_{GS} 
7 Drain-source on-state resistance
 $R_{DS(on)} = f(T_j)$; $I_D = 9.9 \text{ A}$; $V_{GS} = 10 \text{ V}$

8 Typ. transfer characteristics
 $I_D = f(V_{GS})$; $|V_{DS}| > 2|I_D|R_{DS(on)max}$
parameter: T_j 

9 Typ. gate charge

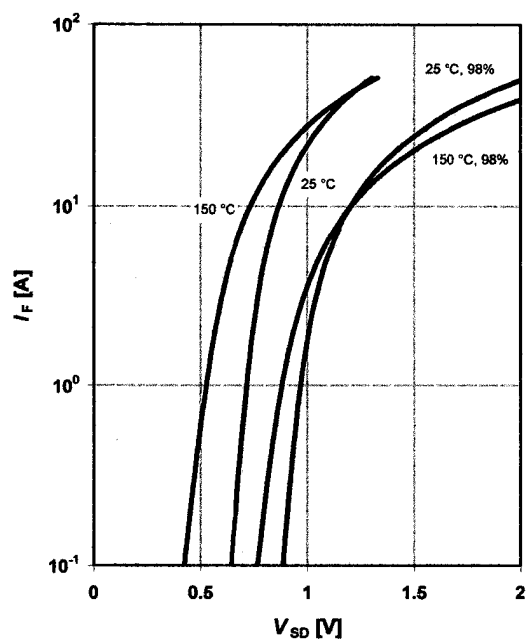
$V_{GS}=f(Q_{gate})$; $I_D=9.9$ A pulsed

parameter: V_{DD}

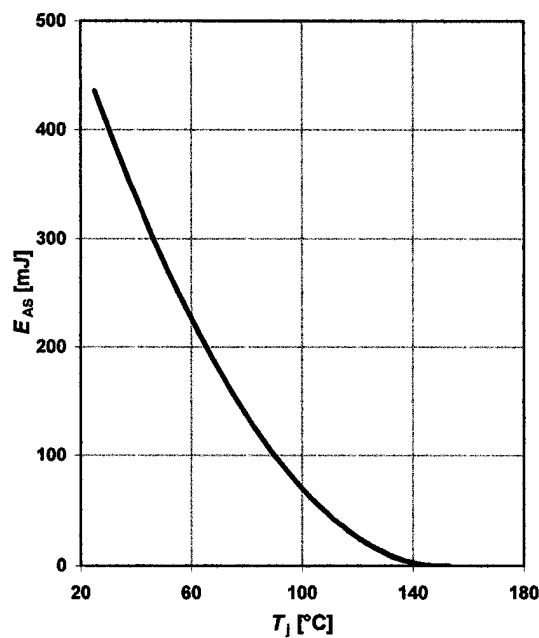
**10 Forward characteristics of reverse diode**

$I_F=f(V_{SD})$

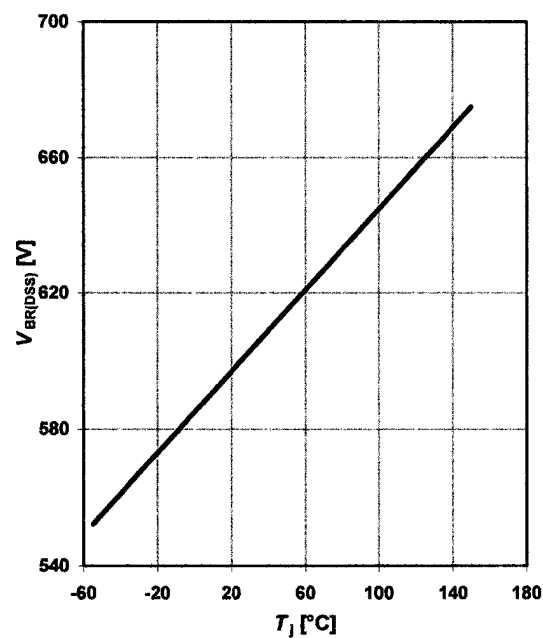
parameter: T_j

**11 Avalanche energy**

$E_{AS}=f(T_j)$; $I_D=6.6$ A; $V_{DD}=50$ V

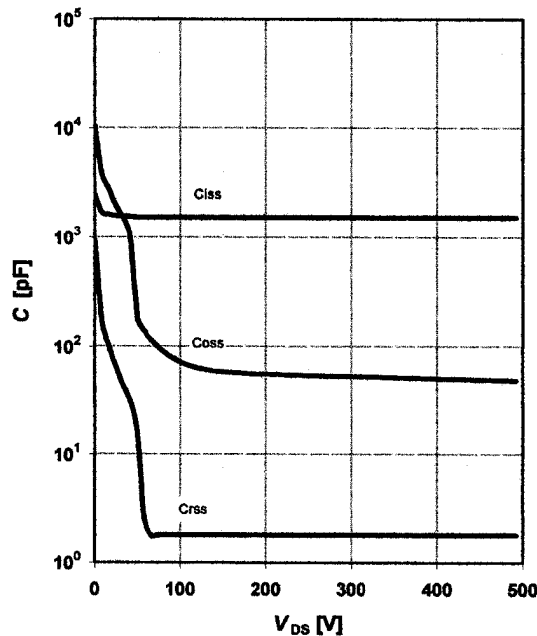
**12 Drain-source breakdown voltage**

$V_{BR(DSS)}=f(T_j)$; $I_D=0.25$ mA

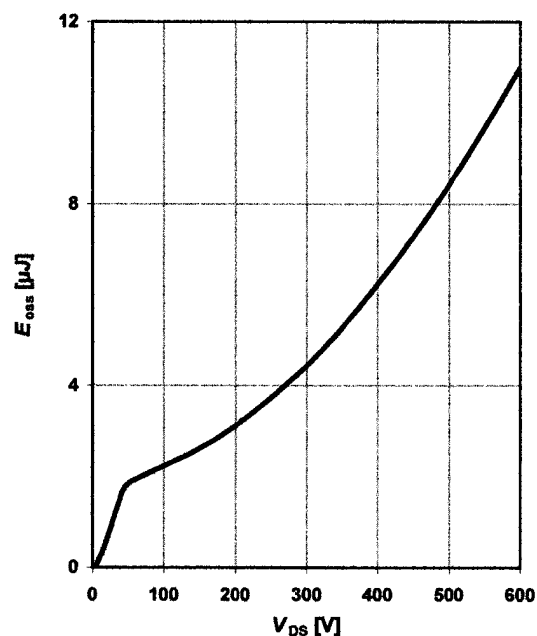


**13 Typ. capacitances**

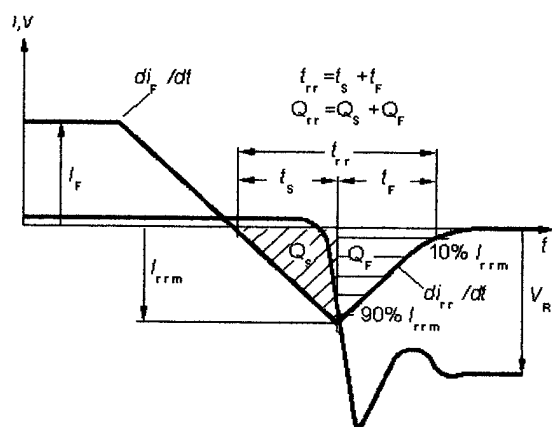
$C=f(V_{DS})$; $V_{GS}=0$ V; $f=1$ MHz

**14 Typ. Coss stored energy**

$E_{oss}=f(V_{DS})$



Definition of diode switching characteristics



Ferrite toroids

TN26/15/10

RING CORES (TOROIDS)

Effective core parameters

SYMBOL	PARAMETER	VALUE	UNIT
$\Sigma(I/A)$	core factor (C1)	1.08	mm^{-1}
V_e	effective volume	3360	mm^3
l_e	effective length	60.1	mm
A_e	effective area	55.9	mm^2
m	mass of core	≈ 17	g

Coating

The cores are coated with polyamide 11 (PA11), flame retardant in accordance with "UL 94V-2"; UL file number E 45228 (M).

The colour is white.

Maximum operating temperature is 160 °C.

Isolation voltage

DC isolation voltage: 2000 V.

Contacts are applied on the edge of the ring core, which is also the critical point for the winding operation.

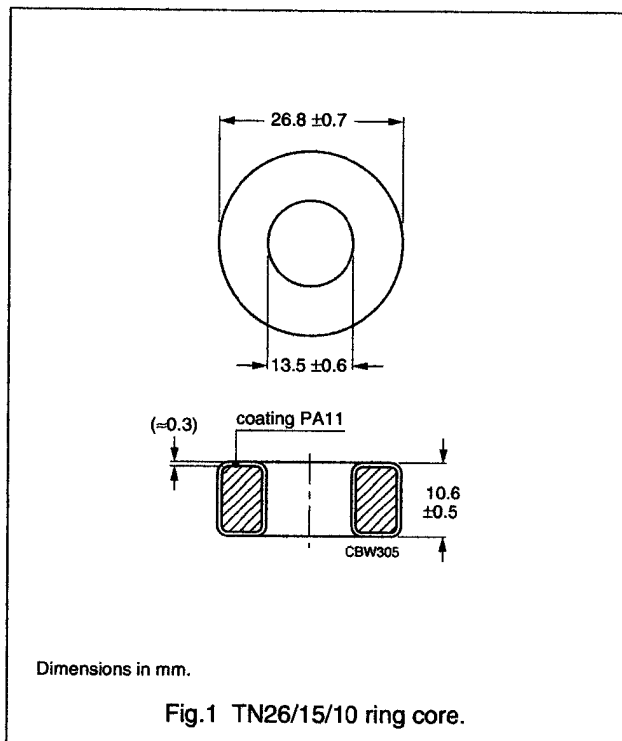


Fig.1 TN26/15/10 ring core.

Ring core data

GRADE	A_L (nH)	μ_i	TYPE NUMBER
4A11	$817 \pm 25\%$	$\approx 700^{(1)}$	TN26/15/10-4A11
3C90	$2645 \pm 25\%$	≈ 2300	TN26/15/10-3C90
3C11	$5000 \pm 25\%$	≈ 4300	TN26/15/10-3C11
3E25	$6420 \pm 25\%$	≈ 5500	TN26/15/10-3E25

- Old permeability specification maintained.

Properties of cores under power conditions

GRADE	B (mT) at	CORE LOSS (W) at	
	H = 250 A/m; f = 25 kHz; T = 100 °C	f = 25 kHz; B = 200 mT; T = 100 °C	f = 100 kHz; B = 100 mT; T = 100 °C
3C90	≥ 320	≤ 0.38	≤ 0.38

Tentti 9.1.2012 RATKAISUT

Teht. 1-3 : Katso kirja

Teht. 4Johtohäviö:

Kuvasta 5 saadaan $T=150^\circ\text{C}$ lampötilassa 12A viralle kun $V_{GS} = 10\text{V}$ tyypillinen arvo:

$$U_{DS} \approx 5.6\text{ V} \quad (\text{tosin kuva aika vaikea lukea tarkasti})$$

Voi myös lukea R_{DS} arvon kuavasta 6 $I=12\text{A}$ $V_{GS}=10\text{V}$ tapaukseen: $R_{DS} \approx 0.5\text{ }\Omega$ joten $U_{DS} \approx 0.5 \cdot 12\text{A} = 6\text{ V}$
 Lisäksi kuussa 7 on annettu 98% raja R_{DS} vastukseen 9.9A viralle, eli ei kovin kaukana 12A:sta
 $R_{DS98\%} \approx 0.54\text{ }\Omega$ (tyypillinen arvo $R_{DS} \approx 0.45\text{ }\Omega$)
 joten $U_{DS98\%} = 6.5\text{ V}$ (tyypillinen 5.4 V)

Jos käytetään arvoa 5.6 V, saadaan johtoajan energiahäviöksi

$$E_{HON} = 5.6\text{V} \cdot 12\text{A} \cdot 20\mu\text{s} \approx 1.3\text{ mJ}$$

Kytkentähäviöistä valmistaja ei anna tietoa
 Arvioidaan ne nousu- ja lashuajojen avulla olettaen jännitteen olevan vakio ja virran muuttuvan lineaarisesti.
 Siten häviöenergiat voidaan laskea kolmion pinta-alakaavalla

Pääskykytkentähäviöt: $t_r \approx 5\text{ ns}$ (tyypillisesti)

$$E_{HTON} \approx \frac{t_r \cdot U_{DS,TON} \cdot I_D}{2} = \frac{5\text{ ns} \cdot 360\text{ V} \cdot 12\text{ A}}{2} \approx 11\mu\text{J}$$

Katkaisuhäviöt: $t_f = 5\text{ ns}$ (tyypillisesti)

$$E_{HTOFF} \approx \frac{t_f \cdot U_{DS,TOFF} \cdot I_D}{2} = \frac{5\text{ ns} \cdot 500\text{ V} \cdot 12\text{ A}}{2} \approx 15\mu\text{J}$$

Tentti 9.1.2012 Ratkaisut

teht. 4 jatkuu

Kuten edeltä olevasta näkyy, virran lyhenniseen ja katkaisuun liittyvät energiat ovat hyvin pieniä" johtuen komponentin suuresta nopeudesta. Tämän johdosta on hyvä tarkistaa myös transistorin kapasitaansien latautumisesta ja purkautumisesta aiheutuvat häviöt. Energia kapasitaansissa $C_{oss} = C_{DS} + C_{DG}$ on annettu kuvassa 14.

$$E_{oss_{TON}} \approx 5,5 \mu J \text{ kun } V_{DS} = 360V \quad (\text{päälelyhennä})$$

$$E_{oss_{TOFF}} \approx 8,4 \mu J \text{ kun } V_{DS} = 500V \quad (\text{katkaisu})$$

Siten kokonaishäviöt ovat $40\mu s$ jakson ajalta

$$\begin{aligned} E_H &= E_{HON} + E_{HTON} + E_{HTOFF} + E_{oss_{TON}} + E_{oss_{TOFF}} \\ &\approx 1300 \mu J + 11 \mu J + 15 \mu J + 5,5 \mu J + 8,4 \mu J \\ &\approx 1340 \mu J \end{aligned}$$

Jä edelleen keskimääräinen häviöteho

$$P_H = \frac{E_H}{T} = \frac{1340 \mu J}{40 \mu s} \approx 34 W$$

Koska toimintataajus on huomattavasti isompi kuin 1 kHz voidaan mitoitus tehdä keskimääräisen häviötehon perusteella

$$T_J \geq (R_{thJC} + R_{thCA}) \cdot P_H + T_A$$

joten

$$\begin{aligned} R_{thCA} &\leq \frac{T_J - T_A}{P_H} - R_{thJC} \\ &\approx \frac{150^\circ C - 45^\circ C}{34 W} - 0,9 \frac{K}{W} \approx 2,2 \frac{K}{W} \end{aligned}$$

Johon siis sisältyy myös kotelon ja jäähdytyselementin välinen lämpövastus, jota valmistaja ei ilmoita datalehdessä.

5)

- a) Halutaan siis että 19V jännite aiheuttaa 0,5A virran muutoksen 10μs aikana.

Induktanssin on siis oltava

$$L = \frac{U \cdot t_d}{\Delta I} = 19V \cdot \frac{10\mu s}{0.5A} \approx 380\mu H$$

Datalehdestä nähdään, että induktanssiherroin $A_L = 2645\text{ nH}$. Siten kierrosia on oltava:

$$N = \sqrt{\frac{L}{A_L}} = \sqrt{\frac{380\mu H}{2645\text{ nH}}} \approx 12$$

- b) Kaavan (11.16) avulla, kun $A_e = 55.9\text{ mm}^2$

$$B = \frac{U \cdot t_d}{A_e \cdot N} = \frac{19V \cdot 10\mu s}{55.9 \cdot 10^{-6}\text{ m}^2 \cdot 12} \approx 280\text{ mT}$$

(Saman tulokseen saa tiettäkin myös kaavasta $B = \frac{\Phi}{A_e} = \frac{L \cdot I}{A_e N}$)

- c) Saatu vuontihyöden arvo 280 mT on aika korkea, joten sydämen häviöt voivat olla liian suuret jos hytkentätaajuus on suuri. Tämä voidaan päästää datalehdien alimmaista tankkista, jossa esitetyt häviöt on annettu oikeilisesti pienemmällä vuontihyöksillä.

Lisäksi on jo lähestä hyvästysvuontihyötä, joka on $\geq 320\text{ mT}$.

Voisi olla järkevää valita isompi ferrittirengas tai häytävä ilmavälin omaavaa sydäntä.